臨時余震観測および常時微動計測に基づく 2014年長野県神城断層地震における 白馬村神城地区での強震動の高密度評価

藤木 昂¹·秦 吉弥²·古川 愛子³·村田 晶⁴· 秦 文博⁵·常田 賢一6·宮島 昌克7

1学生会員 大阪大学 工学部 (〒565-0871 大阪府吹田市山田丘2-1)

E-mail: afujiki@civil.eng.osaka-u.ac.jp

2正会員 大阪大学 大学院工学研究科 (〒565-0871 大阪府吹田市山田丘2-1)

E-mail: hata@civil.eng.osaka-u.ac.jp

³正会員 京都大学 大学院地球環境学堂(〒615-8540京都府京都市西京区京都大学桂)

E-mail: furukawa.aiko.3w@kyoto-u.ac.jp

4正会員 金沢大学 理工研究域 (〒920-1192 石川県金沢市角間町)

E-mail: murata@se.kanazawa-u.ac.jp

5学生会員 大阪大学 大学院工学研究科 (〒565-0871 大阪府吹田市山田丘2-1)

E-mail: fminato@civil.eng.osaka-u.ac.jp

6フェロー会員 大阪大学 大学院工学研究科 (〒565-0871 大阪府吹田市山田丘2-1)

E-mail: tokida@civil.eng.osaka-u.ac.jp

7正会員 金沢大学 理工研究域 (〒920-1192 石川県金沢市角間町)

E-mail: miyajima@se.kanazawa-u.ac.jp

本稿では、2014年長野県神城断層地震において深刻な住家被害等が発生した白馬村神城地区を対象に、本震時に作用した地震動を高密度に評価した.具体的には、まず、特性化震源モデルに基づく強震波形計算を行い、神城地区内における常時微動計測地点(計232地点)における本震時の地震動を推定した.次に、推定地震動を入力波とした墓石の転倒解析を実施し、墓石の転倒率に関する実績値と推定値を比較することによって、推定地震動の適用性について確認を行った.最後に、推定地震動の指標値と住家の被災実績との関係性について比較検討を行った.

Key Words: Strong motion, site effects, fault model, tombstone fall-down rate, wooden house damage

1. はじめに

2014年11月22日に発生した長野県北部を震源とするマグニチュード6.7の地震(以後,2014年長野県神城断層地震)もしくは本震と呼ぶ)では、震源域の白馬村神城地区を中心に住家の倒壊などの深刻な被災が報告^{2,3}されており、本震時に神城地区に作用した地震動を推定することは、非常に重要⁴である。この点に関する先行研究として、まず、秦ほか⁵は、神城地区内の被災集落である田頭集落および無被災集落である飯田集落(2地点(STA_1およびSTA_5):図-1参照)において臨時の余震観測を実施し、得られた記録とサイト特性置換手法⁶の組合せに基づき、本震時に田頭集落および飯田集落に作用した地震動を推定し、両集落における推定地震動の比較結果が

被災・無被災の実績に対して矛盾していないことを速報している.次に、秦ほか^りは、神城地区内においてわずか二つの集落(2地点)での強震動評価に留まっていること、震源断層近傍の地点へのサイト特性置換手法の適用には課題^{9,89}が残されていることなどを考慮して、特性化震源モデル⁹(神城地区周辺の既存強震観測点^{10,11)}で得られた本震記録を一定の精度で再現可能な断層モデル⁹)に基づき、本震時に作用した地震動を臨時余震観測点(8地点(STA_1~8):図-1参照)において推定している.最後に、藤木ほか¹²⁾は、神城地区に設けた臨時余震観測点(わずか8地点)の位置相当に作用した地震動だけを推定しているにすぎないこと,神城地区内における地震動を高密度に推定するには至っていないことなどを考慮して、神城地区内において常時微動計測を高密度に実施(232地

点(**図-2**参照)において実施)し、得られた計測結果などに基づきサイト増幅特性を高密度に評価している.

上述した背景や先行研究の経緯を踏まえ、本稿では、2014年長野県神城断層地震時に神城地区に作用した地震動を高密度に評価した. 具体的には、まず、特性化震源モデル⁹に基づく強震波形計算を行い、神城地区内における常時微動計測地点(計232地点)¹²⁾において本震時に作用した地震動を推定した. 次に、推定地震動を入力波とした墓石の転倒解析¹³⁾を実施し、墓石の転倒率に関する実績値と推定値を比較することによって、推定地震動の適用性について確認^{14,15)}を行った. 最後に、推定地震動の指標値と住家の被災実績との関係性について比較検討を行った.

2. 強震動評価手法

本研究では、図-3に示す波形インバージョンの結果¹⁰を参考に構築した特性化震源モデル⁹⁰を採用した.このモデルは、余震分布に基づいて矩形断層面を仮定し、気象庁の震源を含むように形状を設定している.断層面の長さは20kmおよび幅は20kmである.波形インバージョンによる最大すべり速度の分布¹⁰において、試行錯誤の結果、比較的すべり量の大きい領域に三つのサブイベント(Asperity_1, Asperity_2, Asperity_3)を配置したモデルである.表-1に特性化震源モデルの断層パラメターの一覧を示す.破壊伝播は、気象庁の震源から放射状に2.8km/sの速度で広がると仮定し、Q値については佐藤・巽による東日本の内陸部での推定値¹⁷⁾を採用した.一方で、PRTITINについては、K-NET白馬(神城地区に最も近い既存強震観測点)¹⁰⁾での設定値(0.85(N-S成分)および0.53(E-W成分))を採用⁷した.

一方で、強震波形計算手法として、本研究では、経験的サイト増幅・位相特性を考慮した強震波形計算手法 ^{18),19)}を適用した.この方法では、まず式(1)により統計的グリーン関数を生成する.

$$A(f) = S(f) \cdot P(f) \cdot G(f) \cdot \frac{O(f)}{|O(f)|_{p}} \tag{1}$$

ここに、(1)式における各々の変数の説明を以下に示す.

- ・A(f): 地表における統計的グリーン関数のフーリエ変換で複素数
- · S(f): 中小地震の震源特性²⁰⁾で実数
- ・*P(f)*: 伝播経路特性²⁰⁾で実数
- ・ *G(f)*: 各微動計測地点(計232地点: 図-2参照)でのサイト増幅特性(地震基盤〜地表: 図-4参照)¹³で実数
- *O(f)*: 各微動計測地点(計232地点: **図-2**参照)がそれぞれ属する各ゾーン内の臨時観測点(**図-1**および**図-5**参照)で得られた余震記録(**図-6**参照)⁷のフーリエ変換で

複素数

・ $|O(f)|_p$: O(f)の絶対値に対してバンド幅0.05HzのParzen Windowを適用(添字pで表示)したもの

一方で、フーリエ位相特性(*O(f)*, |*O(f)*|_e)の取り扱いについては、震源断層内で発生した比較的規模の大きな余震として、以下に示す二つの中小地震を併用した.

- ·EQ_1: 2014/11/25 06:27 1km 長野県北部(M_J3.9)
- ·EQ 2:2014/12/2201:175km長野県北部(MA.4)

ここに, ZONE_1およびZONE_5(図-5参照)内に位置す

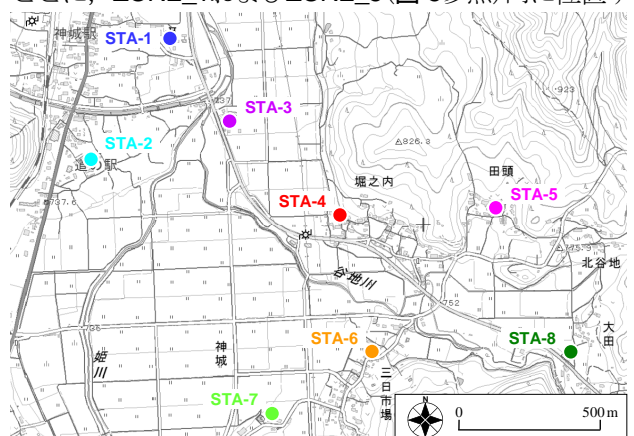


図-1 神城地区内に設けた臨時余震観測点の分布7

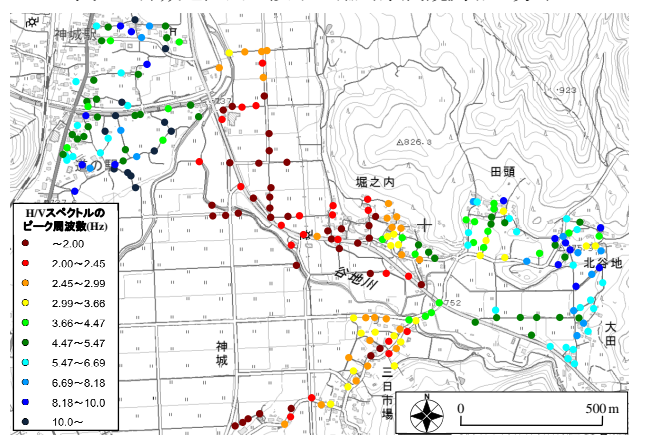
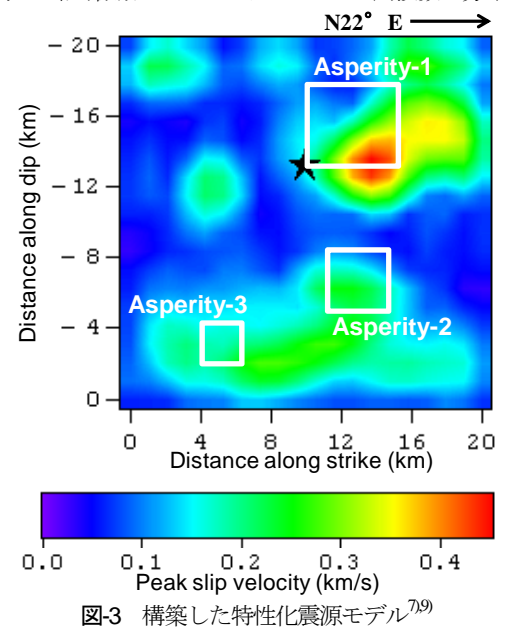


図-2 常時微動HVスペクトルのピーク周波数の分布 12



る微動計測地点のサイト(フーリエ)位相特性としてEQ_1によってSTA_1もしくはSTA_5(図-1参照)で観測された記録(図-6参照),ZONE_2,3,4,6,7,8(図-5参照)内に位置する微動計測地点のサイト(フーリエ)位相特性としてEQ_2によってSTA_2,3,4,6,7,8(図-1参照)で観測された記録(図-6参照)をそれぞれ採用した.

式(1)からわかるように、本手法では、統計的グリーン関数のフーリエ振幅は、震源特性・伝播経路特性・サイト特性の積として求め、統計的グリーン関数のフーリエ位相としては、現地で得られた余震(EQ-1もしくはEQ-2)による観測記録のフーリエ位相を用いる。式(1)をフーリエ逆変換し、経験的グリーン関数法と同様の重ね合わせ²¹⁾を行うことで、大地震による波形が求まる。なお、Parzen Window(添字pで表示)は、因果性を満足する地震波を生成する目的で用いられている¹⁹.

先行研究の成果の一つとして、秦ほか⁷は、評価したサイト増幅・位相特性、構築した特性化震源モデル、経験的サイト増幅・位相特性を考慮した強震動評価手法の組み合わせは、神城地区周辺の既存強震観測点^{10,11)}における地震動((i)強震波形(速度波形)、(ii)応答スペクトル、(iii)各種指標値(最大加速度*PGA*、最大速度*PGV*、速度PSI値²³、SI値²³、気象庁計測震度²⁴、修正計測震度²⁵))の再現に有効であることを確認している。よって本稿では、同じ組み合わせを神城地区内の各微動計測地点に作用した地震動の推定にも適用する。

3. 墓石の転倒解析

(1) 位置付け

2.で述べたとおり、秦ほか⁷は、神城地区周辺で得ら れた本震時の観測地震動に対して推定地震動を比較する ことによって, 地震動評価手法の神城地区への適用性を 確認している. しかしながら、神城地区とその周辺の既 存強震観測点間においては比較的距離を有しておりサイ ト増幅・位相特性の差異が比較的大きい⁷⁾こと、常時微 動HVスペクトルに基づき評価されたサイト増幅特性 (図-4参照)の適用性について十分な適用性確認が行われ ていない12)こと、などを踏まえれば、観測地震動と推定 地震動の比較のみでは、地震動評価手法の神城地区への 適用性確認が十分に行われたとは言い難い面もある. 神 城地区内にも幾つかの墓地(既存強震観測点に比べその 数が圧倒的に多い)が位置していること(図-7参照)、本 震直後に著者らによる現地調査(墓石の転倒の有無など に着目)²⁾が実施されていること, 墓石の転倒(特に転倒 の有無)に関して十分な再現性を有する数値解析手法が 提案16されていることなどを考慮すれば、地震動評価手 法の適用性確認を更に高めるための新たな手段として, 既往研究14,15)と同様の手法を用いることで、神城地区内

における墓石の転倒実績を利活用できる可能性が高い. そこで本稿では、本震時に神城地区内の墓地(図-7参照) に作用した地震動を推定し、得られた推定地震動を入力 波とした墓石の転倒解析を実施した.そして、墓石の墓 石の転倒率(主に転倒の有無)に関して実績値と解析値に ついて比較検討を行うことで、地震動推定手法(2.で述 べたとおり、観測地震動と推定地震動による比較検討に ついては先行研究⁷において実施済)の適用性について追 加の確認を行った.

表-2 特性化震源モデルのパラメータの一覧7/9/

断層パラメター	Asperity-1	Asperity-2	Asperity-3
走向 (deg.)	N22° E	N22° E	N22° E
傾斜 (deg.)	51	51	51
長さ(km)	4.5	3.0	2.0
幅 (km)	4.0	3.0	2.0
地震モーメント(Nm)	3.5×10^{17}	1.3×10^{18}	1.0×10^{18}
ライズタイム (sec)	0.3	0.3	0.2
破壊伝播速度 (km/s)	3.0	3.0	3.0

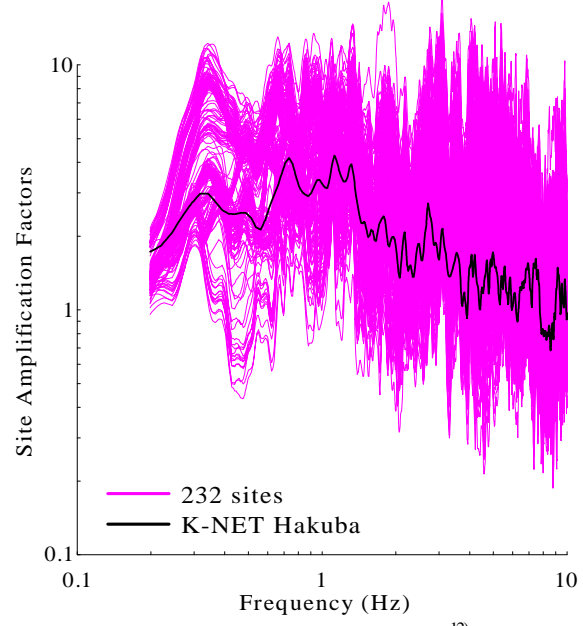


図-4 サイト増幅特性(地震基盤〜地表)12)の比較

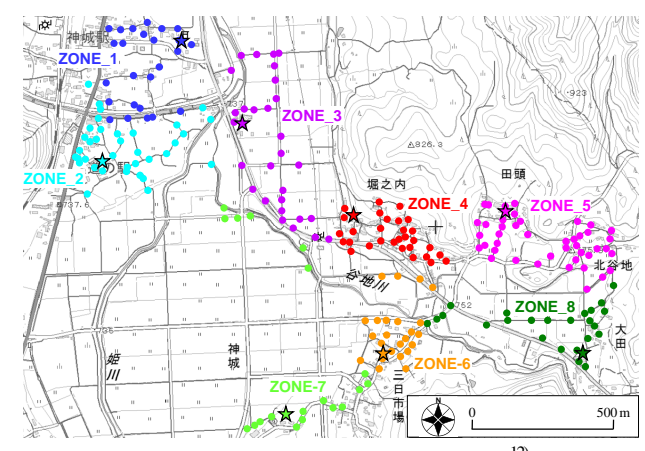


図-5 地盤震動特性によるゾーニング^{II}

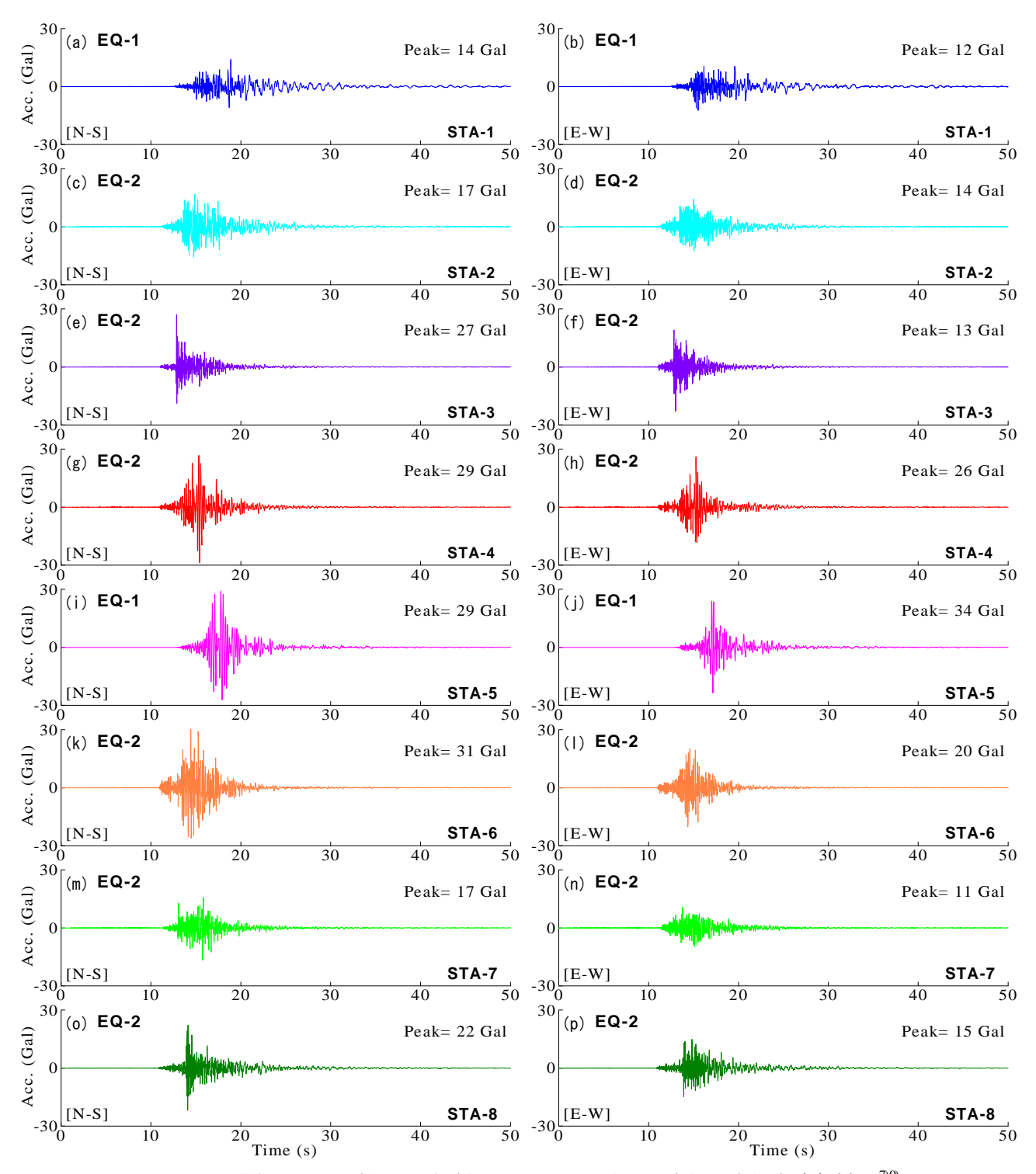


図-6 サイト位相特性として採用した余震(EQ-1もしくはEQ-2)による観測地震動の加速度時刻歴^{7/9}

(2) 墓石のモデル化

表-2は、本震直後に著者らが行った神城地区内の7つの墓地(墓地A~G:図-7参照)における①墓石の総数、②転倒していた墓石の総数、③上記を踏まえて計算した墓石の転倒率(実績値)に関する一覧表である。ここに、上記7つの対象墓地は、各石を積み上げただけの無補強和型墓石によってのみ構成されている墓地であり、補強墓石が含まれている墓地は検討対象外とした。なお、表-1においては、新井・柏による調査研究^{30,20}においても

指摘されているとおり、段丘斜面²⁸⁾などの地盤の変状を 主要因とする墓石の転倒結果が含まれていること(墓地 C, D, E)、墓石の総数が比較的少ないために転倒率に関 する信頼性が低いこと(墓地A, B, F)、などに留意する必 要がある.

図-8~図-14は、墓地A~Gにおける墓石を直方体要素でモデル化したDEM解析モデルである。写真-1に一例を示すように、墓石の寸法については全て写真測量(本震後に実施)の結果に基づいている。写真測量により得ら

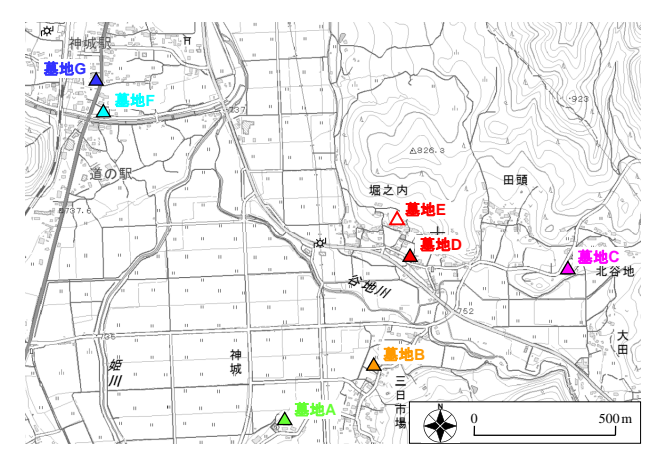


図-7 検討対象とした神城地区内における墓地の分布

表-3 墓石の転倒実績とその再現解析結果

Et Gog

写真-1 墓石の写真測量の一例

墓地名	①墓石総数	②転倒数	③転倒率 (実績値)	④転倒率 (解析値)
墓地A	2	0	0.00	0.00
墓地B	4	4	1.00	0.50
墓地C	5	5	1.00	0.80
墓地D	10	10	1.00	0.60
墓地E	1	1	1.00	1.00
墓地F	1	1	1.00	1.00
墓地G	50	2	0.04	0.00

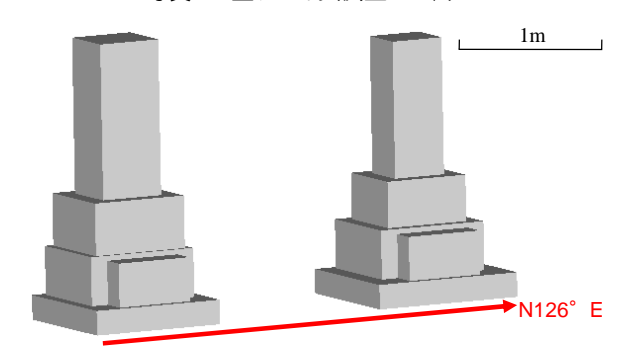


図-8 推定地震動による墓石の転倒解析結果(墓地A)

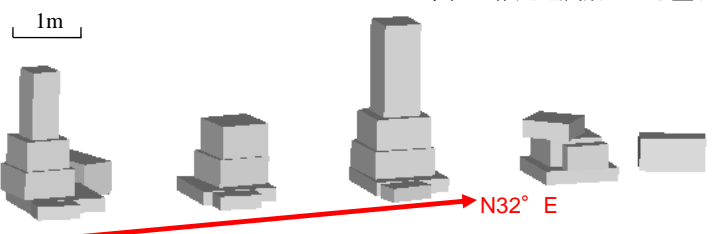


図-9 推定地震動による墓石の転倒解析結果(墓地B)

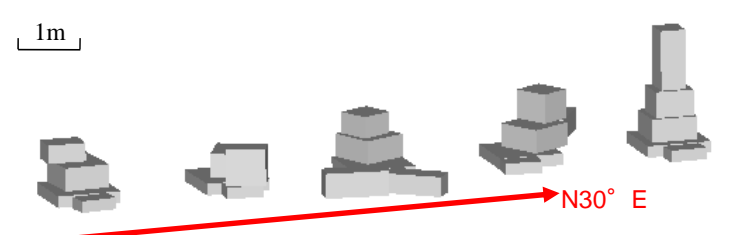


図-10 推定地震動による墓石の転倒解析結果(墓地C)

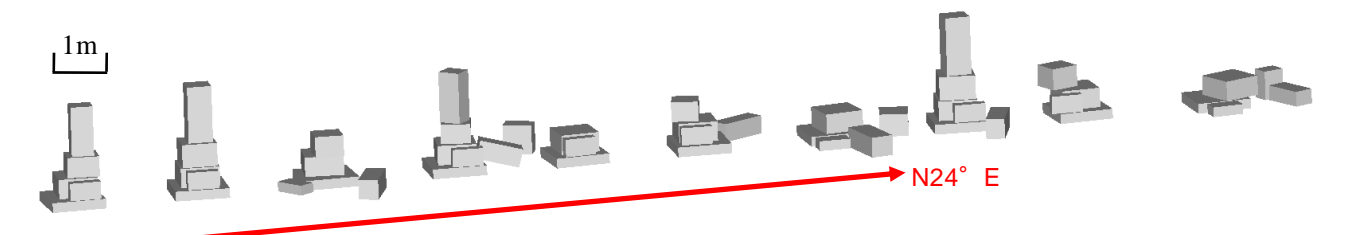
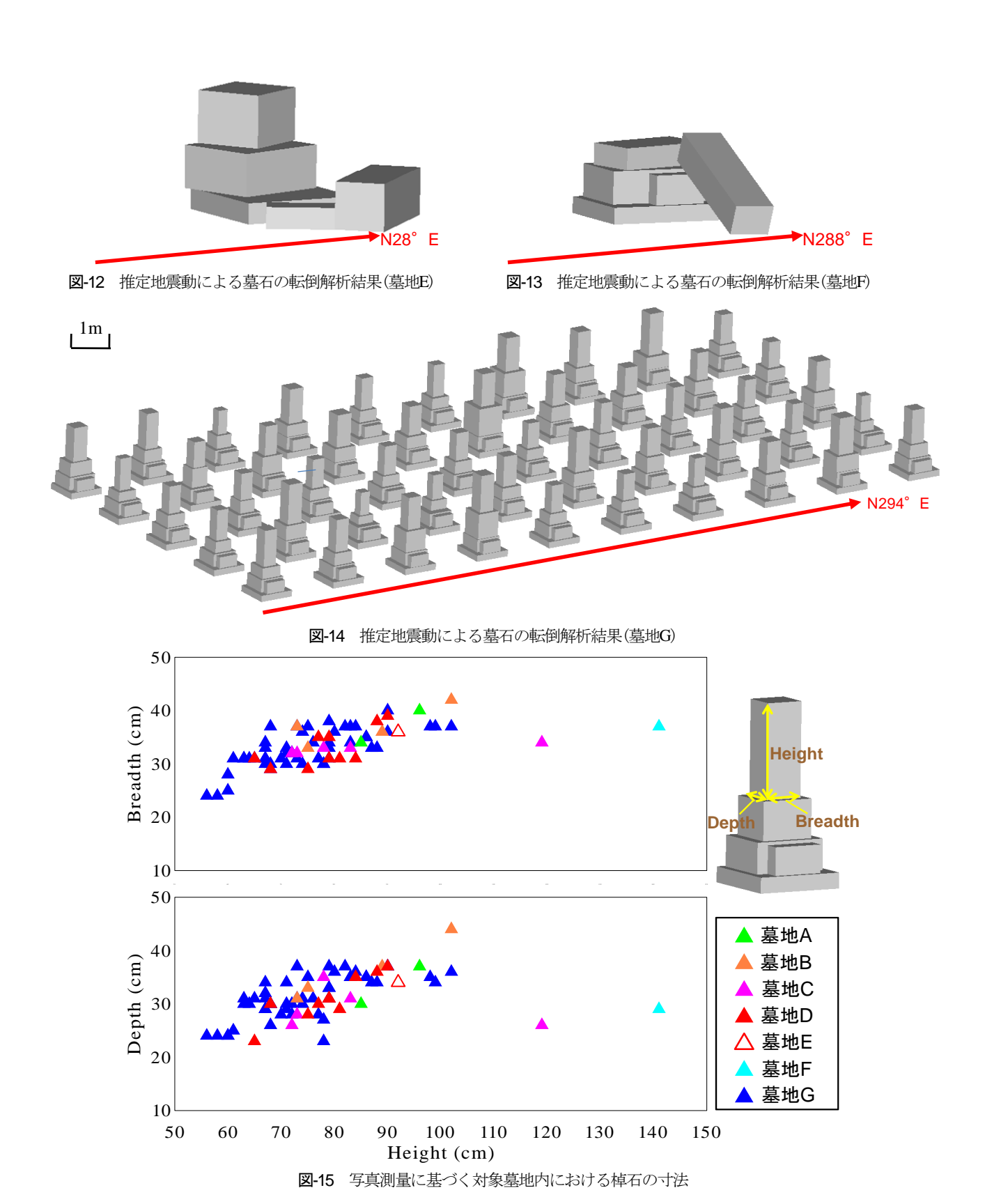


図-11 推定地震動による墓石の転倒解析結果(墓地D)

れた結果の一例として、棹石の寸法の特性を対象墓地ごとに**図-15**に示す。**表-3**に示すように、墓石の単位体積質量、ヤング率、ポアソン比は、花崗岩(墓石)とコンクリート(台座:固定要素)の一般的な値²⁹を用いた。墓地

A~Gは、いずれも無補強和型墓石であるため、墓石間の引張強度と粘着力はゼロとした。摩擦力の上限値を与える動摩擦係数は、既往の実験値³⁰⁾を参考に0.438とし、墓石~台座間についても墓石~墓石間と同じ値を用い

1m _____1m



た. 計算時間間隔は,差分近似する際の解の収束性および安定性などを考慮して 1.0×10^5 sを採用 31 した.

(3) 墓地サイトでの推定地震動

図-16は、墓地A~Gにおける推定地震動(水平動)の加速度時刻歴である. 図-17には、推定地震動による絶対

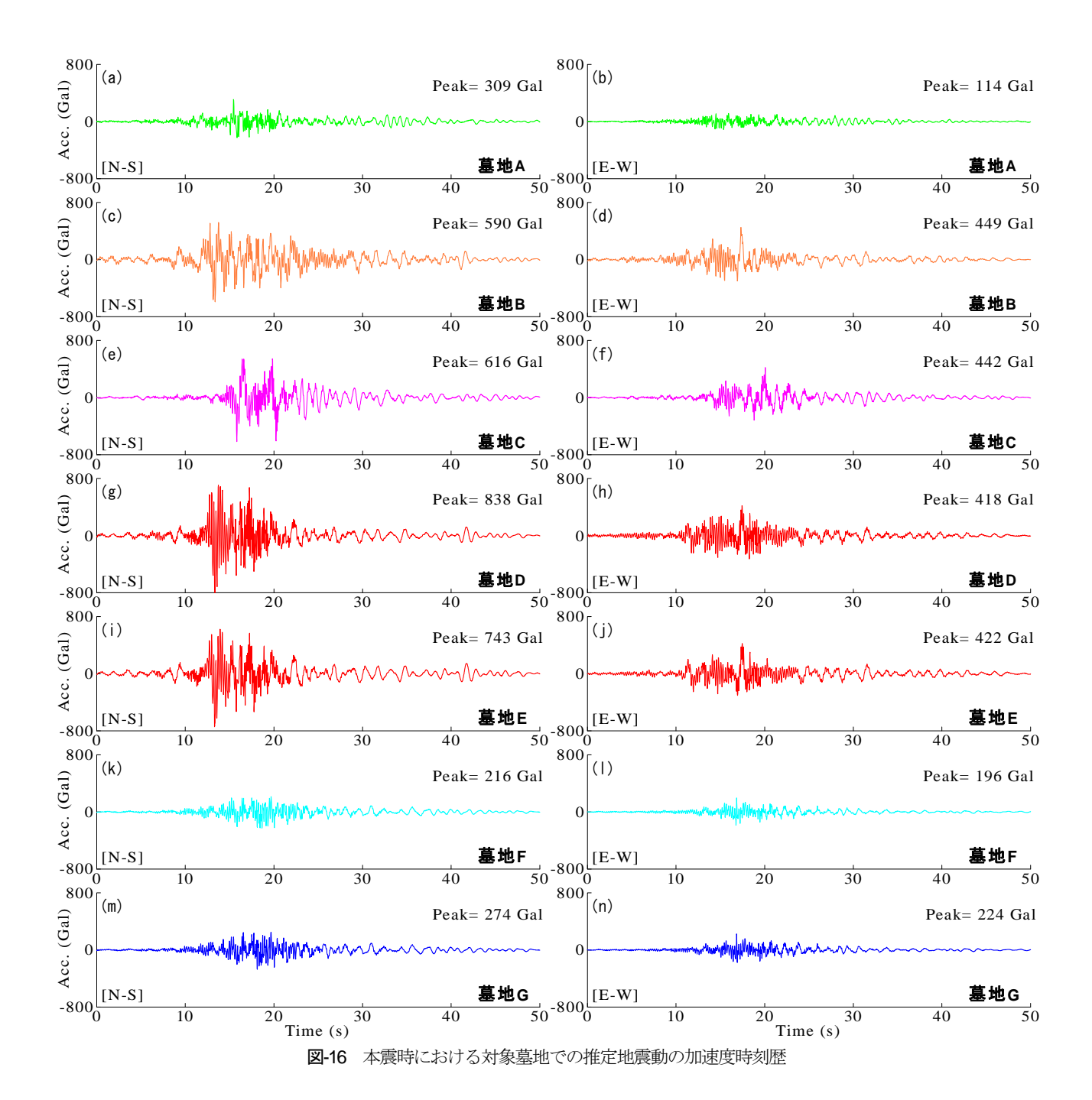


表-3 墓石のDEM解析モデルパラメータの一覧¹⁴⁾

物性値パラメータ	墓石 (花崗岩)	台座 (コンクリート)
単位体積重量 (tf/m³)	2.7	2.3
ヤング率 (kPa)	4.0×10^{7}	2.0×10^{7}
ポアソン比 (一)	0.25	0.20

加速度応答スペクトル(減衰定数5%)の比較をN-Sおよび E-W成分について示す.墓地A~Gの位置情報(図-7参照)によって,地震基盤相当に作用する地震動特性,常時微動H/Vスペクトルに基づき評価されたサイト増幅特性(図-4参照)¹²,EQ_1もしくはEQ_2による観測地震動に 基づき評価されたサイト位相特性(図-6参照)の計三つの特性がそれぞれ異なることに起因して,図-16および図-

17に示すとおり、墓地A~Gにおける推定地震動の特性 (波形振幅、波形形状、スペクトル形状など)に差異が生 じている。一方で、墓地A~Gでは、推定地震動の特性 だけでなく、3.(2)で述べたとおり、墓石の寸法(図-15参 照)やその転倒率(表-1参照)にも有意な差異が見受けら れる。

そこで本稿では、地震動評価手法(2.参照)の適用性を 更に高めるために、墓地A~Gにおける水平2成分の推定 地震動(図-16参照)を入力波とした三次元DEMに基づく 墓石の転倒解析¹⁶を実施した.

(4)解析結果

図-8~図-14および表-2には、墓地A~Gにおける墓石の転倒解析の結果および④墓石の転倒率(解析値)につい

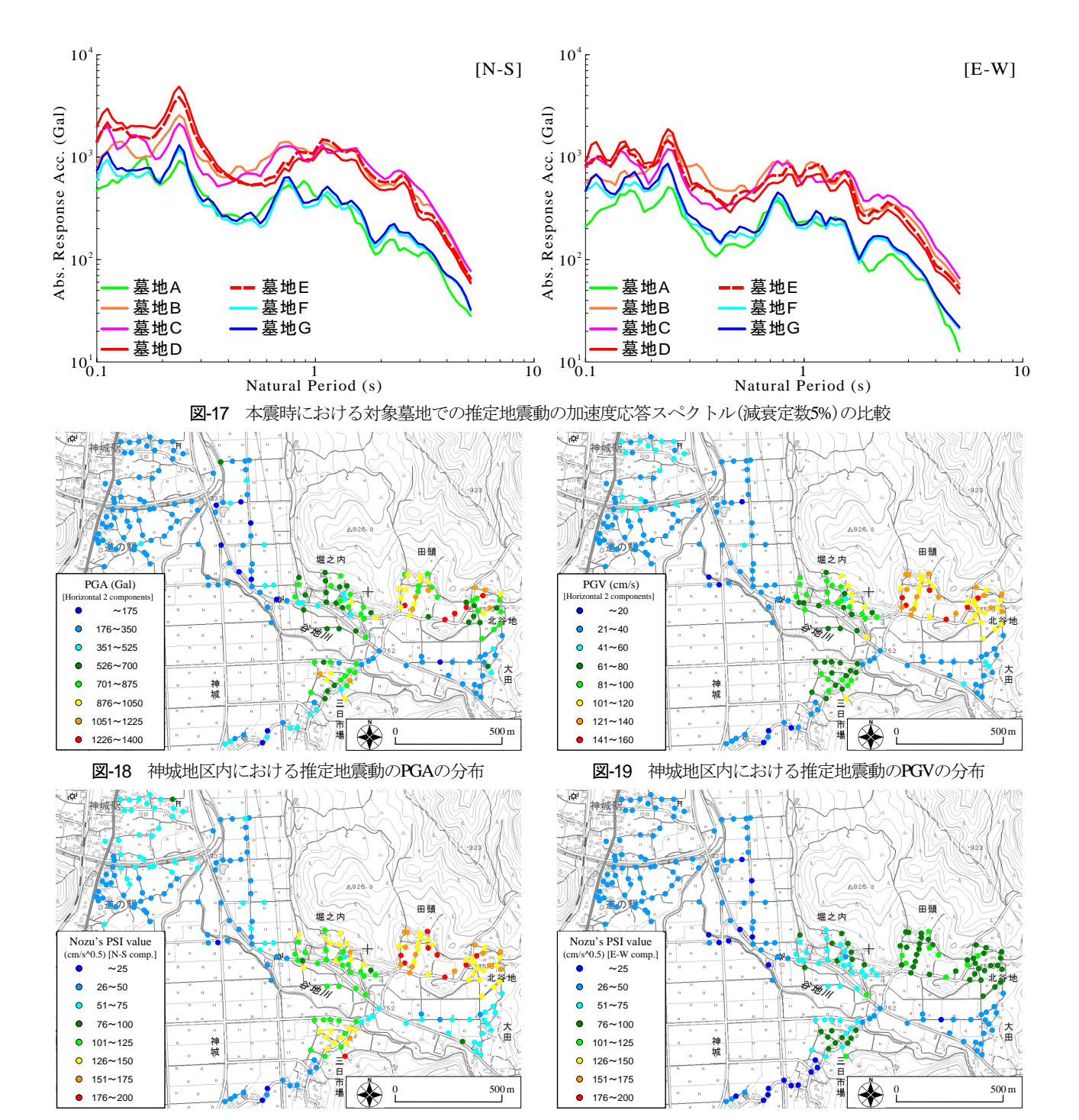


図-20 神城地区内における推定地震動のPSI値(N-S成分)の分布

図-21 神城地区内における推定地震動のPSI値(E-W成分)の分布

ても同時に示す. 表-2に示すように, 墓石の転倒率に関して③実績値と④解析値を比較すると, 実績値に対して若干過小に評価しているものの, 一定の精度で再現できている. 過小評価している要因としては, 本解析において, 上述したように地盤変状の影響が考慮されていないこと, 水平2成分の推定地震動を入力波として採用しているため鉛直地震動の影響を無視していること, などが挙げられる. 上記の過小評価の要因を踏まえれば, 墓地A~Gにおける墓石の転倒率に関する一定の再現性(表-2参照)は, 2.で述べた地震動評価手法の適用性が高いことをあらためて示唆するものである.

4. 推定地震動と被災・無被災実績の関係

図-18~図-25は、本震時に神城地区内の各微動計測地点(計232地点:図-2参照)に作用した推定地震動の各種指標値(最大加速度PGA、最大速度PGV、速度PSI値、SI値、気象庁計測震度、修正計測震度)の分布である。ここに、採用した地震動指標は、2.でも述べたとおり、先行研究⁷における観測波と推定波の比較により、一定の精度で指標値を再現可能であることを確認済みである。

図-18~図-25に示すとおり、神城地区内で住家の深刻な被害が報告²されている堀之内・田頭集落・三日市場

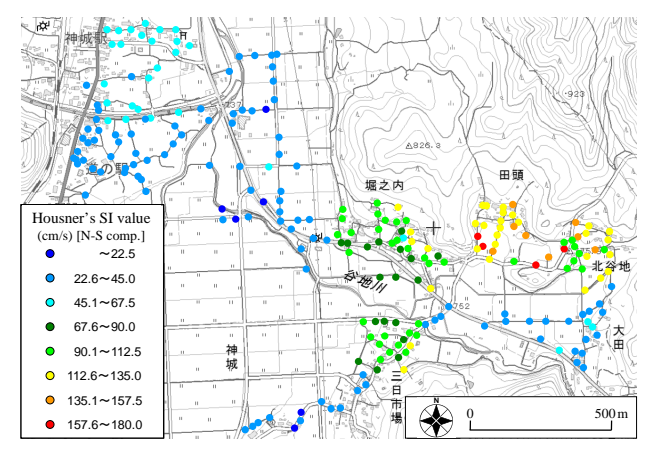


図-22 神城地区内における推定地震動のSI値(N-S成分)の分布

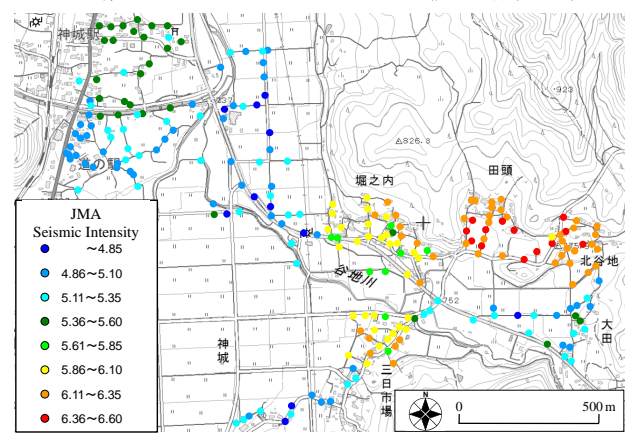


図-24 神城地区内における推定地震動の気象庁計測震度の分布

集落では、比較的被害が軽微であった他集落(例えば、飯田集落)と比較して、推定地震動の指標値が明らかに大きくなっている。すなわちこれは、神城地区内の被災集落に作用した本震時の地震動は、同じ神城地区内の無被災集落などに作用した本震時の地震動よりも明らかに大きく、住家の被災・無被災の実績に対して矛盾していないことを示唆するものである。

5. まとめ

本研究では、2014年長野県神城断層地震において白馬村神城地区に作用した強震動の分布を、現地で行った臨時余震観測ならびに高密度常時微動計測によって得られた記録に基づいて広域かつ高密度に評価した。得られた知見を以下に示す。

- (1) 神城地区内の墓地における推定地震動を入力波とした墓石の転倒解析(三次元 DEM 解析)に基づく転倒率は、実績値を一定の精度で再現可能である.
- (2) 上記(1)の知見は、観測地震動と推定地震動の比較に 基づいて適用性が既に確認されている地震動推定手 法について、神城地区に同手法を適用するにあたり、 その適用性が更に高いことを示唆するものである.
- (3) 神城地区内において広域かつ高密度に推定した地震

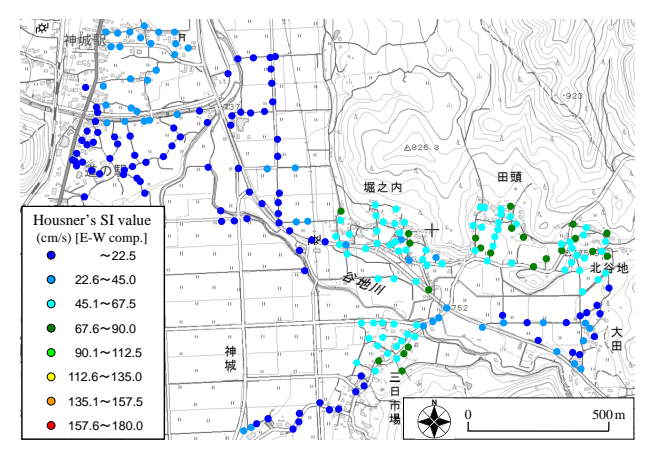


図-23 神城地区内における推定地震動のSI値(E-W成分)の分布

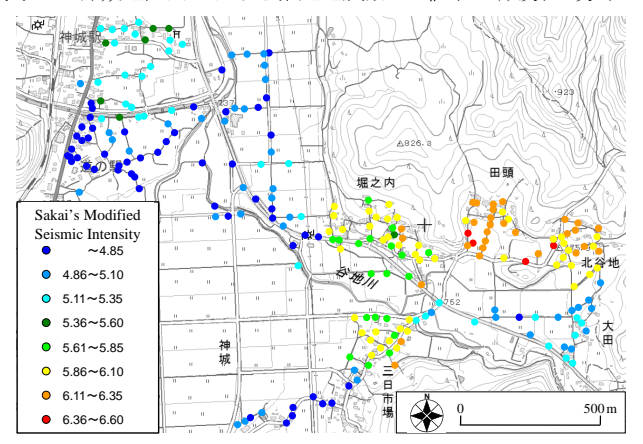


図-25 神城地区内における推定地震動の修正計測震度の分布

動は、その指標値(最大加速度、最大速度、速度 PSI 値、SI 値、気象庁計測震度、修正計測震度)に有意な差異が確認でき、この差異は、住家の被災・無被災実績に対して非常に調和的である.

今後は、推定強震動の指標値の分布に対する住家の被 災・無被災の実績の関係性について定量的な評価を行っ ていきたいと考えている.

謝辞:高密度常時微動計測の実施にあたり、白馬村役場の職員の皆様および神城地区の住民の皆様に大変お世話になりました。科学研究費補助金・若手研究A「超高密度地震観測に基づく宅地造成斜面におけるダイナミック地すべり挙動の広域的評価(15H05532)」の一部を使用しました。ここに記して謝意を表します。

参考文献

- 1) 長野県災害対策本部室:長野県神城断層地震による 県内の被害状況等,平成26年11月24日災害情報プレスリリース,2014.
- 2) 小長井一男,吉見雅行,秦吉弥,後藤浩之,池田隆明:2014年長野県北部の地震 地震被害調査速報,土木学会誌, Vol.100, No.2, pp.8-11, 2015.
- 3) 向坊恭介,佐藤英佑,鈴木祥之:木造建築物被害, 日本地震工学会 2014 年長野県北部の地震に関する調 査団報告,pp.72-86,2015.

- 4) 野津厚, 一井康二:性能設計の発展型としての Evidence-Based Design の提案とその実現に向けた課題, 第 13 回日本地震工学シンポジウム論文集,日本地震 工学会,pp.3073-3080,2010.
- 5) Hata, Y., Murata, A. and Miyajima, M.: Preliminary report on strong motion estimation at damaged and non-damaged clusters in Kamishiro District, Hakuba Village during a large earthquake (M_{JMA}=6.7) in northern Nagano Prefecture, central Japan, *Journal of JSCE Disaster Fact Sheets*, FS2015-E-0001, 2015. http://committees.jsce.or.jp/disaster/FS2015-E-0001
- 6) Hata, Y., Nozu, A. and Ichii, K.: A practical method to estimate strong ground motions after an earthquake based on site amplification and phase characteristics, *Bulletin of* the Seismological Society of America, Vol.101, No.2, pp. 688-700, 2011.
- 7) 秦吉弥,村田晶,野津厚,羽田浩二,山田雅行,宮島昌克,藤木昂,常田賢一:経験的サイト増幅・位相特性を考慮した 2014 年長野県神城断層地震における白馬村神城地区での強震波形の広域評価,第 35 回地震工学研究発表会講演論文集,土木学会,2015. [in this issue]
- 8) 秦吉弥,村田晶,野津厚,宮島昌克:サイト特性置 換手法に基づく 2011 年長野・新潟県境地震における 栄村横倉集落での地震動の評価,日本地震工学会論 文集, Vol.12, No.2, pp.60-77, 2012.
- 9) 秦吉弥,村田晶,野津厚,宮島昌克:2014 年長野県神城断層地震における特性化震源モデルの構築とその応用,土木学会第70回年次学術講演会講演概要集,I-223,pp.445-446,2015.
- Aoi, S., Kunugi, T., and Fujiwara, H.: Strong-motion seismograph network operated by NIED: K-NET and KiKnet, *Jour. of Japan Association for Earthquake Eng*ineering, Vol.4, No.3, pp.65-74, 2004.
- 11) 鷹野澄, 纐纈一起, 工藤一嘉, 古村孝志, 山中佳子, ト部卓, 土井恵治: 首都圏強震動総合ネットワーク SK-net, 記念シンポジウム「日本の強震観測 50 年」 一歴史と展望一講演集, 防災科学技術研究所資料, No.264, pp.119-122, 2005.
- 12) 藤木昂,秦吉弥,村田晶,山田雅行,羽田浩二,湊文博,常田賢一,古川愛子,一井康二:高密度常時微動計測に基づく長野県白馬村神城地区におけるサイト増幅特性の評価,第35回地震工学研究発表会講演論文集,土木学会,2015. [in this issue]
- 13) 古川愛子, 三輪滋, 清野純史, 大塚久哲: 基礎の剛性と接着剤の塗布面積が墓石の地震時挙動に及ぼす影響の解析的検討, 応用力学論文集, 土木学会, Vol. 12, pp.469-480, 2009.
- 14) 秦吉弥, 古川愛子, 野口竜也, 香川敬生: 強震動推定の 適用性確認のための墓石の転倒解析の活用に関する基礎 的研究—2000 年鳥取県西部地震における墓地を例として 一, 土木学会論文集 A1, Vol.71, No.4, 2015. [in press]
- 15) 秦吉弥, 一井康二, 野津厚, 古川愛子, 常田賢一: 経験的サイト増幅・位相特性を考慮した 2009 年駿河湾の地震における東名高速道路盛土崩落地点での地震動の推定, 土木学会論文集 A, Vol.66, No.4, pp.673-690, 2010.

- 16) 野津厚: 2014 年 11 月 22 日長野県北部の地震(M6.7) の震源モデル(暫定版)―デジタルデータ付き―,港湾空港技術研究所地震防災研究領域研究ノート,2015.
- 17) 佐藤智美, 巽誉樹:全国の強震記録に基づく内陸地震と海溝性地震の震源・伝播・サイト特性, 日本建築学会構造系論文集, No.556, pp.15-24, 2002.
- 18) 古和田明,田居優,岩崎好規,入倉孝次郎:経験的 サイト増幅・位相特性を用いた水平動および上下動 の強震動評価,日本建築学会構造系論文集,No.512, pp.97-104,1998.
- 19) 野津厚,長尾毅,山田雅行:経験的サイト増幅・位相特性を考慮した強震動評価手法の改良―因果性を満足する地震波の生成―,土木学会論文集 A, Vol.65, No.3, pp.808-813, 2009.
- Boore, D. M.: Stochastic simulation of high-frequency ground motions based on seismological models of the radiated spectra, *Bulletin of the Seismological Society of America*, Vol.73, pp.1865-1894, 1983.
- 21) 入倉孝次郎,香川敬生,関口春子:経験的グリーン 関数を用いた強震動予測方法の改良,日本地震学会 秋季大会講演予稿集,No.2,B25,1997.
- 22) 例えば、野津厚、井合進:岸壁の即時被害推定に用いる地震動指標に関する一考察、第 28 回土木学会関東支部技術研究発表会講演概要集、pp.18-19,2001.
- 23) Housner, G. W.: Intensity of earthquake ground shaking near the causative fault. *Proc. of 3rd World Conference on Earthquake Engineering*, Auckland, New Zealand, pp.94-115, 1965.
- 24) Nishimae, Y.: Observation of seismic intensity and strong ground motion by Japan Meteorological Agency and local governments in Japan, *Jour. of Japan Association for Earthquake Engineering*, Vol.4, No.3, pp.75-78, 2004.
- 25) 境有紀, 纐纈一起, 神野達夫: 建物被害率の予測を 目的とした地震動の破壊力指標の提案, 日本建築学 会構造系論文集, No.555, pp.85-91, 2002.
- 26) 新井洋,柏尚稔:2014 年長野県北部地震による白馬村神城地区の被害調査(その1),第50回地盤工学研究発表会講演概要集,pp.1737-1738,2015.
- 27) 柏尚稔, 新井洋: 2014 年長野県北部地震による白馬村神城地区の被害調査(その 2), 第 50 回地盤工学研究発表会講演概要集, pp.1739-1740, 2015.
- 28) 吉川登代子,秦吉弥,村田晶,山田雅行,常田賢一:高密度微動アレー計測による段丘斜面の震動特性の評価―長野県白馬村神城地区を例として―,第18回斜面防災対策技術フォーラム 2015 発表論文集,斜面防災対策技術協会,2015. [in press]
- 29) 例えば、岡田清, 小柳洽, 明石外世樹: 土木材料学, 国民科学社(オーム社), 316p., 1998.
- 30) 日本石材産業協会:地震に強いお墓の報告書,2006.
- 31) Cundall, P. A.: Rational design of tunnel supports -A computer model for rock mass behavior using interactive graphics for the input and output of geometrical data-, *Technical Report MRD-2-74*, *Missouri River Division*, *U.S. Army Corps of Engineers*, 1974.

(2015.9.4 受付)

STRONG MOTION ESTIMATION WITH HIGH DENSITY IN KAMISHIRO DISTRICT, HAKUBA VILLAGE, NAGANO PREFECTURE FOR THE 2014 NORTHERN NAGANO PREFECTURE EARTHQUAKE BASED ON THE OBTAINED RECORDS DUE TO TEMPORARY AFTERSHOCK OBSERVATIONS AND MICROTREMOR MEASUREMENTS

Akira FUJIKI, Yoshiya HATA, Aiko FURUKAWA, Akira MURATA, Fumihiro MINATO, Ken-ichi TOKIDA, and Masakatsu MIYAJIMA

In Kamishiro District, a residential area in Hakuba Village, serious damage was caused by the 2014 Northern Nagano Prefecture Earthquake (M_J 6.7). To better understand the mechanism of the damage, it is necessary to have a better understanding on the seismic response of the residential area during the 2014 main shock with high accuracy by taking into account site effects. In this study, we first estimated the seismic waveforms at 232 sites in the residential area. Next, we carried out 3-D DEM calculation of tombstone at 7 graveyard sites in the residential area, in order to confirm the applicability of the estimated waveforms. Based on the estimated waveforms, finally, we discussed the characteristics of ground motion which influenced the seismic damage of the residential area. The estimated waveforms and obtained findings will be useful in future study of seismic performance of residential areas.